

На рис. 94 изображены графически величины  $v/v_2$ ,  $p/p_2$  и  $\rho/\rho_2$  как функции  $r/R$  для воздуха ( $\gamma = 1,4$ ). Обращает на себя внимание очень быстрое убывание плотности по направлению внутрь сферы: почти все вещество сконцентрировано в сравнительно узком слое позади фронта ударной волны. Это обстоятельство является естественным следствием того, что по поверхности наибольшего, равного  $R$ , радиуса должно быть распределено вещество с шестикратной по сравнению с нормальной плотностью<sup>1)</sup>.

### § 107. Сходящаяся сферическая ударная волна

Рядом поучительных особенностей обладает задача о сходящейся к центру ударной волне большой интенсивности<sup>2)</sup>. Вопрос о конкретном механизме возникновения такой волны не будет интересовать; достаточно представлять себе, что волна создана каким-то «сферическим поршнем», сообщающим газу начальный толчок; по мере схождения к центру волна усиливается.

Мы будем рассматривать движение газа на той стадии процесса, когда радиус  $R$  сферической поверхности разрыва уже мал по сравнению с ее начальным радиусом — радиусом «поршня»  $R_0$ . На этой стадии характер движения в значительной степени (ниже будет видно — какой) не зависит от конкретных начальных условий. Ударную волну будем считать уже настолько сильной, что давлением  $p_1$  газа перед ней можно (как и в предыдущем параграфе) пренебречь по сравнению с давлением  $p_2$  позади нее. Что касается полной энергии газа, заключенной в рассматриваемой (переменной!) области  $r \sim R \ll R_0$ , то она отнюдь не постоянна (как будет видно ниже — убывает со временем).

Пространственный масштаб рассматриваемого движения может определяться лишь самим, меняющимся со временем, ра-

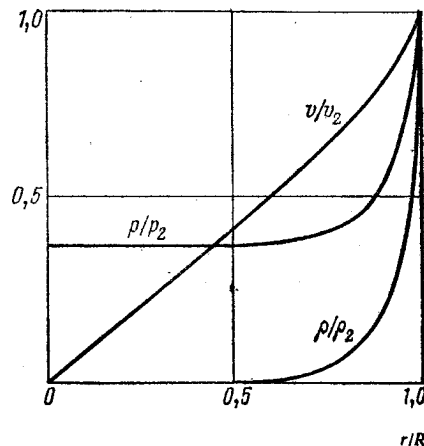


Рис. 94

<sup>1)</sup> Результаты вычислений для других значений  $\gamma$ , а также аналогичное решение задачи о сильном взрыве в случае цилиндрической симметрии приведены Л. И. Седовым в книге «Методы подобия и размерности в механике», изд. 9 — М.: Наука, 1981, гл. IV, § 11.

<sup>2)</sup> Эта задача была рассмотрена независимо Гудерлеем (G. Guderley, 1942) и Л. Д. Ландау и К. П. Станюковичем (1944, опубликовано в 1955).

диусом ударной волны  $R(t)$ , а масштаб скорости — производной  $dR/dt$ . В этих условиях естественно предположить, что движение будет автомодельным, с независимой «автомодельной переменной»  $\xi = r/R(t)$ . Однако зависимость  $R(t)$  нельзя определить из одних только соображений размерности.

Примем момент фокусировки ударной волны (т. е. момент, когда  $R$  обращается в нуль) в качестве  $t = 0$ . Тогда времени до фокусировки отвечают значения  $t < 0$ . Будем искать функцию  $R(t)$  в виде

$$R(t) = A(-t)^\alpha \quad (107,1)$$

с неизвестным заранее показателем автомодельности  $\alpha$ . Оказывается, что этот показатель определяется условием существования самого решения уравнений движения (в области  $r \ll R_0$ ) с надлежащими граничными условиями. Тем самым определяется и размерность постоянного параметра  $A$ . Величина же этого параметра остается неопределенной и может быть, в принципе, найдена лишь путем решения задачи о движении газа в целом, т. е. путем сшивки автомодельного решения с решением на расстояниях  $r \sim R_0$ , зависящим от конкретных начальных условий. Именно через этот параметр, и только через него, зависит движение при  $R \ll R_0$  от способа начального создания ударной волны.

Покажем, как осуществляется решение поставленной таким образом задачи.

Подобно тому, как это было сделано в § 106, введем безразмерные неизвестные функции согласно определениям

$$v = \frac{ar}{t} V(\xi), \quad \rho = \rho_1 G(\xi), \quad c^2 = \frac{a^2 r^2}{t^2} Z(\xi), \quad (107,2)$$

где

$$\xi = \frac{r}{R(t)} = \frac{r}{A(-t)^\alpha} \quad (107,3)$$

(при  $\alpha = 2/5$  определения (107,2) совпадают с (106,4)). Напомним, что  $v$  — радиальная скорость газа относительно неподвижной системы координат, связанной с неподвижным газом внутри сферы  $r = R_0$ ; газ движется вместе с ударной волной по направлению к центру, чему отвечает  $v < 0$  (так что  $V(\xi) > 0$ ).

Фактически искомое решение уравнений движения относится лишь к области  $r \sim R$  позади ударной волны, и к достаточно малым временам  $t$  (при которых  $R \ll R_0$ ). Но формально получаемое решение охватывает все пространство  $r \geq R$  — от поверхности разрыва до бесконечности, и все времена  $t \leq 0$ ; при этом переменная  $\xi$  пробегает все значения от 1 до  $\infty$ . Соответственно, граничные условия для функций  $G$ ,  $V$ ,  $Z$  должны быть поставлены при  $\xi = 1$  и  $\xi = \infty$ .

Значение  $\xi = 1$  отвечает поверхности ударной волны; граничные условия на ней совпадают с (106,6).

Для установления условий на бесконечности (по  $\xi$ ) замечаем, что при  $t = 0$  (в момент фокусировки волны) все величины  $v$ ,  $\rho$ ,  $c^2$  на всех конечных расстояниях от центра должны оставаться конечными. Но при  $t = 0$ ,  $r \neq 0$  переменная  $\xi = \infty$ . Для того чтобы функции  $v(r, t)$  и  $c^2(r, t)$  при этом оставались конечными, функции  $V(\xi)$  и  $Z(\xi)$  должны обращаться в ноль,

$$V(\infty) = 0, \quad Z(\infty) = 0. \quad (107,4)$$

После подстановки (107,2—3), система уравнений (106,7) принимает вид

$$\begin{aligned} (1 - V) \frac{dV}{d \ln \xi} - \frac{Z}{\gamma} \frac{d \ln G}{d \ln \xi} - \frac{1}{\gamma} \frac{dZ}{d \ln \xi} &= \frac{2}{\gamma} Z - V \left( \frac{1}{\alpha} - V \right), \\ \frac{dV}{d \ln \xi} - (1 - V) \frac{d \ln G}{d \ln \xi} &= -3V, \\ (\gamma - 1) Z \frac{d \ln G}{d \ln \xi} - \frac{dZ}{d \ln \xi} &= \frac{2Z(1/\alpha - V)}{1 - V} \end{aligned} \quad (107,5)$$

(последние два уравнения —ср. с (106,9)). Отметим, что независимая переменная  $\xi$  входит в эти уравнения только в виде дифференциала  $d \ln \xi$ ; постоянная  $\ln A$  при этом выпадает из уравнений вовсе и, следовательно, остается неопределенной — в соответствии со сказанным выше.

Коэффициенты при производных в уравнениях (107,5) и их правые части содержат только  $V$  и  $Z$  (но не  $G$ )<sup>1)</sup>. Решив эти уравнения относительно производных, мы выразим последние через эти две функции. Таким образом, получим уравнения

$$\frac{d \ln \xi}{dV} = - \frac{Z - (1 - V)^2}{(3V - \kappa)Z - V(1 - V)(1/\alpha - V)}, \quad (107,6)$$

$$(1 - V) \frac{d \ln G}{d \xi} = 3V - \frac{(3V - \kappa)Z - V(1 - V)(1/\alpha - V)}{Z - (1 - V)^2} \quad (107,7)$$

(где  $\kappa = 2(1 - \alpha)/\alpha\gamma$ ). В качестве же третьего напишем уравнение, получающееся делением производной  $dZ/d \ln \xi$  на  $dV/d \ln \xi$ ; оно гласит:

$$\frac{dZ}{dV} = \frac{Z}{1 - V} \left\{ \frac{[Z - (1 - V)^2][2/\alpha - (3\gamma - 1)V]}{(3V - \kappa)Z - V(1 - V)(1/\alpha - V)} + \gamma - 1 \right\}. \quad (107,8)$$

Если найдено нужное решение уравнения (107,8), т. е. функциональная зависимость  $Z(V)$ , то после этого решение уравнений (107,6—7) (нахождение зависимости  $\xi(V)$  и затем  $G(\xi)$ ) сводится к квадратурам.

<sup>1)</sup> Именно в этом состоит преимущество введения в качестве основных переменных  $v$ ,  $\rho$ ,  $c^2$  вместо  $v$ ,  $\rho$ ,  $p$ .

Таким образом, вся задача сводится прежде всего к решению уравнения (107,8). Интегральная кривая на плоскости  $V, Z$  должна выходить из точки (назовем ее точкой  $Y$ ) с координатами  $V(1), Z(1)$  — «образа» ударной волны на плоскости  $V, Z$ . Указанием этой точки уже определяется решение уравнения (107,8) (при заданном  $\alpha$ ): интегральная кривая уравнения первого порядка однозначно определяется заданием одной (не особой) ее точки. Выясним условие, позволяющее установить значение  $\alpha$ , приводящее к «правильной» интегральной кривой.

Это условие возникает из очевидного физического требования: зависимости всех величин от  $\xi$  должны быть однозначными — каждому значению  $\xi$  должны отвечать единственные значения  $V, G, Z$ . Это значит, что во всей области изменения переменной  $\xi$  ( $1 \leq \xi \leq \infty$ , т. е.  $0 \leq \ln \xi \leq \infty$ ) функции  $\xi(V), \xi(G), \xi(Z)$  не должны иметь экстремумов. Другими словами, производные  $d \ln \xi / dV, \dots$  должны нигде не обращаться в нуль. На рис. 95 кривая 1 — парабола

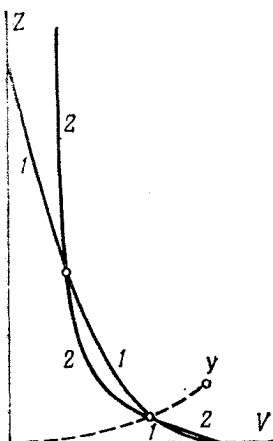


Рис. 95

$$Z = (1 - V)^2. \quad (107,9)$$

Легко видеть, что точка  $Y$  лежит над ней<sup>1</sup>). Между тем, интегральная кривая, отвечающая решению поставленной задачи, должна прийти в начало координат — в соответствии с предельным условием (107,4); поэтому она непременно пересекает параболу (107,9). Но все указанные производные выражаются, согласно (107,6—8), дробными выражениями, в числителе которых стоит разность  $Z - (1 - V)^2$ . Для того чтобы эти выражения не обращались в нуль в точке пересечения интегральной кривой с параболой (107,9), должно одновременно быть

$$(3V - \alpha)Z = V(1 - V)(1/\alpha - V). \quad (107,10)$$

Другими словами, интегральная кривая должна проходить через точку пересечения параболы (107,9) с кривой (107,10) (кривая 2 на рис. 95); эта точка — особая точка уравнения (107,8) (производная  $dZ/dV = 0/0$ ). Этим условием и определяется значение показателя автомодельности  $\alpha$ ; приведем два значения, получающиеся в результате численных расчетов:

$$\alpha = 0,6884 \text{ при } \gamma = 5/3; \quad \alpha = 0,7172 \text{ при } \gamma = 7/5. \quad (107,11)$$

<sup>1</sup>) Это обстоятельство выражает собой просто тот факт, что скорость газа на задней стороне разрыва меньше скорости звука в нем.

Пройдя через особую точку, интегральная кривая устремляется в начало координат (точка  $O$ ), отвечающее предельным значениям (107,4). Для уяснения математической ситуации, опишем кратко картину распределения интегральных кривых уравнения (107,8) на плоскости  $V, Z$  (при «правильном» значении  $\alpha$ ), не проводя соответствующих вычислений<sup>1)</sup>.

Кривые (107,9) и (107,10) пресекаются, вообще говоря, в двух точках — кружки на рис. 95 (помимо несущественной точки  $V = 1, Z = 0$  на оси абсцисс). Кроме того, уравнение имеет особую точку  $c$  в пересечении кривой (107,10) с прямой  $(3\gamma - 1)V = 2/\alpha$  (обращение в нуль второго множителя в числителе в (107,8)). Точка  $a$ , через которую проходит «правильная» интегральная кривая — точка типа седла; точки  $b$  и  $c$  — узлы. Узловой особой точкой является также и начало координат  $0$ . Вблизи последнего уравнение (107,8) принимает вид

$$\frac{dz}{dV} = \frac{2Z}{V + \kappa Z}.$$

Элементарное интегрирование этого однородного уравнения показывает, что при  $V \rightarrow 0$  функция  $Z(V)$  стремится к нулю быстрее, чем  $V$ , а именно

$$Z \approx \text{const} \cdot V^2. \quad (107,12)$$

Таким образом, из начала координат выходит бесконечное множество интегральных кривых (отличающихся значением const в (107,12)). Все эти кривые входят затем в узел  $b$  или узел  $c$  — за исключением лишь одной, входящей в седловую точку  $a$  (одна из двух сепаратрис — единственных интегральных кривых, проходящих через седло)<sup>2)</sup>.

Началу координат отвечает  $\xi = \infty$ , т. е. момент фокусировки ударной волны в центре. Определим предельные распределения всех величин по радиальным расстояниям в этот момент. С учетом (107,12) из уравнений (107,6—7) найдем, что

$$V = \text{const} \cdot \xi^{-1/\alpha}, \quad Z = \text{const} \cdot \xi^{-2/\alpha}, \quad G = \text{const} \quad \text{при } \xi \rightarrow \infty \quad (107,13)$$

(значения постоянных коэффициентов могут быть найдены только путем фактического численного определения интегральной

<sup>1)</sup> Исследование производится общими методами качественной теории дифференциальных уравнений. Классификацию типов особых точек уравнения первого порядка можно найти в книге: В. В. Степанов, Курс дифференциальных уравнений, глава II.

<sup>2)</sup> Описанная картина, как оказывается, имеет место лишь при  $\gamma < \gamma_1 = 1,87\dots$ . При  $\gamma = \gamma_1$  и «правильном»  $\alpha$  точки  $a$  и  $b$  сливаются, а при  $\gamma > \gamma_1$  картина распределения интегральных кривых меняется и требуется более глубокое исследование. Напомним, однако, что в физически реальных случаях  $\gamma \leqslant 5/3$  (ср. примечание на стр. 562).

кривой на всем ее протяжении). Подставив эти выражения в определения (107,2), получим<sup>1)</sup>

$$|v| \propto c \propto r^{-(1/\alpha-1)}, \quad \rho = \text{const}, \quad p \propto r^{-2(1/\alpha-1)}. \quad (107,14)$$

Эти законы можно было бы найти и прямо из соображений размерности (после того, как стала известной размерность  $A$ ). В нашем распоряжении имеется два параметра,  $\rho_1$  и  $A$ , и одна переменная  $r$ ; из них можно составить всего одну комбинацию размерности скорости:  $A^{1/\alpha} r^{1-1/\alpha}$ ; величиной же с размерностью плотности является лишь само  $\rho_1$ .

Найдем еще закон, по которому меняется со временем полная энергия газа в области автомодельного движения. Размеры (по радиусу) этой области — порядка величины радиуса  $R$  ударной волны и уменьшаются вместе с ним. Примем условно за границу автомодельной области некоторое определенное значение  $r/R = \xi_1$ . Полная энергия газа в сферическом слое между радиусами  $R$  и  $\xi_1 R$  после введения безразмерных переменных выражается интегралом

$$E_{\text{авт}} = \frac{\alpha^2 \rho_1 R^5}{t^2} \int_1^{\xi_1} G \left[ \frac{V^2}{2} + \frac{Z}{\gamma(\gamma-1)} \right] 4\pi \xi^2 d\xi$$

(ср. (106,11)). Интеграл здесь — постоянное число<sup>2)</sup>. Поэтому находим, что

$$E_{\text{авт}} \propto R^{5-2/\alpha} \propto (-t)^{5\alpha-2}. \quad (107,15)$$

Для всех реальных значений  $\gamma$ , показатель степени здесь положителен. Хотя интенсивность самой ударной волны растет по мере ее приближения к центру, но в то же время уменьшается объем области автомодельного движения и это приводит к уменьшению полной заключенной в ней энергии.

После фокусировки в центре возникает «отраженная» ударная волна, расширяющаяся (при  $t > 0$ ) навстречу движущемуся к центру газу. Движение в этой стадии тоже автомодельно, с тем же показателем автомодельности  $\alpha$ , так что закон расширения  $R \propto t^\alpha$ . Более подробным исследованием этого движения мы здесь заниматься не будем<sup>3)</sup>.

Таким образом, рассмотренная задача дает пример автомодельного движения, в котором, однако, показатель автомодельности (т. е. вид автомодельной переменной  $\xi$ ) не может быть

<sup>1)</sup> Предельное значение отношения  $\rho/\rho_1$  в момент фокусировки равно 20,1 для  $\gamma = 7/5$  и 9,55 для  $\gamma = 5/3$ .

<sup>2)</sup> Интеграл расходится при  $\xi_1 \rightarrow \infty$ . Это обстоятельство — следствие не применимости автомодельного режима на расстояниях  $r \gg R$ .

<sup>3)</sup> Укажем лишь, что отражение ударной волны сопровождается дальнейшим сжатием вещества, достигающим 145 для  $\gamma = 7/5$  и 32,7 для  $\gamma = 5/3$ .

определен из соображений размерности; он определяется лишь в результате решения самих уравнений движения, с учетом условий, диктуемых физической постановкой задачи. С математической точки зрения характерно, что эти условия формулируются как требование прохождения интегральной кривой дифференциального уравнения первого порядка через его особую точку. При этом показатель автомодельности оказывается, вообще говоря, иррациональным числом<sup>1)</sup>.

### § 108. Теория «мелкой воды»

Замечательную аналогию движению сжимаемого газа представляет движение в поле тяжести несжимаемой жидкости со свободной поверхностью, если глубина слоя жидкости достаточно мала (мала по сравнению с характеристическими размерами задачи, например, по сравнению с размерами неровностей дна водоема). В этом случае поперечной компонентой скорости жидкости можно пренебречь по сравнению с продольной (вдоль слоя) скоростью, а последнюю можно считать постоянной вдоль толщины слоя. В этом приближении (называемом гидравлическим) жидкость можно рассматривать как «двуухмерную» среду, обладающую в каждой точке определенной скоростью  $v$  и, кроме того, характеризующуюся в каждой точке значением величины  $h$  — толщины слоя.

Соответствующие общие уравнения движения отличаются от уравнений, полученных в § 12, лишь тем, что изменения величин при движении не должны предполагаться малыми, как это делалось в § 12 при изучении длинных гравитационных волн малой амплитуды; в связи с этим в уравнении Эйлера должны быть сохранены члены второго порядка по скорости. В частности, для одномерного движения жидкости в канале, зависящего только от одной координаты  $x$  (и времени), эти уравнения имеют вид

$$\frac{\partial h}{\partial t} + \frac{\partial(vh)}{\partial x} = 0, \quad \frac{\partial v}{\partial t} + v \frac{\partial v}{\partial x} = -g \frac{\partial h}{\partial x} \quad (108,1)$$

(глубина  $h$  предполагается здесь постоянной вдоль ширины канала).

Длинные гравитационные волны представляют собой, с общей точки зрения, малые возмущения движения рассматриваемой системы. Результаты § 12 показывают, что такие возмущения рас-

<sup>1)</sup> Другой пример автомодельного движения такого рода представляет задача о распространении ударной волны, создаваемой в результате короткого сильного удара по полупространству, заполненному газом (Зельдович Я. Б. — Акустич. журнал, 1956, т. 2, с. 29). Изложение этой задачи можно найти также в указанной на стр. 461 книге Я. Б. Зельдовича и Ю. П. Райзера (гл. XII) и в книге Баренблатта Г. И. Подобие, автомодельность, промежуточная асимптотика. — М.: Гидрометеоиздат, 1982, сл. 4.